

MOSFET - Metal Oxide Semiconductor Field Effect Transistor  
 QC - Quantum Computer  
 RSFQ - Rapid Single Flux Quantum  
 SET - Single Electron Tunneling

Zum Rechnen  $[x, y \in \{0, 1\}]$  :  
 $x \text{ AND } y = x \cdot y$ ,  
 $x \text{ OR } y = x + y - x \cdot y$ ,  
 $\text{NOT } x = 1 - x$ .

Qubit: beliebiges, quantenmechanisches Zwei-Zustands-System  $[|0\rangle, |1\rangle]$ .

Komplexitätsklassen von Algorithmen: P [polynomial], NP [nichtdeterministisch polynomial], NP-C [NP-vollständig]

QC: Parallelismus durch Superposition mehrerer Qubits; Algorithmen mittels unitärer Transformationen  $U [UU^\dagger = \mathbb{1}]$ .

### klassische Informatik:

Zur Verknüpfung von  $E$  Eingängen mit jeweils  $e$  verschiedenen möglichen Zuständen mit  $A$  Ausgängen mit jeweils  $a$  verschiedenen möglichen Zuständen ergeben sich  $[a^A]^{[e^E]}$  paarweise unterschiedliche Möglichkeiten.  $a^A$  ist dabei die Anzahl unterschiedlicher Ausgangs- und  $e^E$  die Anzahl unterschiedlicher Eingangszustände.

[Für Bits  $a = e = 2$ .]

Für klassische Gatter muss man Werte kopieren können und braucht NAND-Gatter.

$$x \text{ AND } y = [x \text{ NAND } y] \text{ NAND } [x \text{ NAND } y] \quad , \quad x \text{ OR } y = [x \text{ NAND } x] \text{ NAND } [y \text{ NAND } y] \quad , \quad \text{NOT } x = x \text{ NAND } x.$$

Zur Erstellung eines Algorithmus' aus seinen Funktionswerten:

- Kanonisch disjunktive Normalform (KDNF): Disjunktion von Konjunktionsthermen  $[\bigvee_i \bigwedge_j (-)x_{ij}]$ .
- Kanonisch konjunktive Normalform (KKNF): Konjunktion von Disjunktionsthermen  $[\bigwedge_i \bigvee_j (-)x_{ij}]$ .

reversible Gatter: eindeutig von Ausgabe auf Eingabe schließbar.  $[\rightarrow$  injektiv]

Nach Landauers Prinzip setzt jede irreversible Operation [Entropieverringern] Energie frei [Größenordnung mindestens  $k_B T \ln(2)$ ]. Jede irreversible Funktion kann reversibel gemacht werden  $[(\underbrace{x}_{n\text{-bit}}, \underbrace{00\dots 0}_{m\text{-bit}}) \rightarrow (\underbrace{x}_{n\text{-bit}}, \underbrace{f(x)}_{m\text{-bit}})]$ .

Von den  $[2^n]^{2^n}$  unterschiedlichen  $n$ - zu  $n$ -bit Funktionen sind nur  $[2^n]!$  reversibel.

( $c$ ) - control-Bit, ( $t$ ) - target-Bit

CNOT - 2 Bits [1 ( $c$ ), 1 ( $t$ )] und ( $t$ ) flippt nur, wenn ( $c$ ) 1 ist.

$$[(x, y) \rightarrow (x, x \text{ XOR } y)]$$

Toffoli-Gatter:  $C^2\text{NOT}$  - 3 Bits [2 ( $c$ ), 1 ( $t$ )] und ( $t$ ) flippt nur, wenn beide ( $c$ ) 1 sind.

$$[(x, y, z) \rightarrow (x, y, [x \text{ AND } y] \text{ XOR } z)]$$

Fredkin-Gatter: CEXCHANGE - 3 Bits [1( $c$ ), 2 ( $t$ )] und ( $t$ ) tauschen nur, wenn ( $c$ ) 1 ist.

$$[(x, y, z) \rightarrow (x, [[\text{NOT } x] \text{ AND } y] \text{ OR } [x \text{ AND } z], [[\text{NOT } x] \text{ AND } z] \text{ OR } [x \text{ AND } y])]$$

### Quantenmechanik:

wichtigste Begriffe:

Hilbert-Raum  $\mathcal{H}_d$ , Dimension  $d$ , Zustände  $|\Psi\rangle$  [ket],  $\langle\Psi|$  [bra], Normierung  $\langle\Psi|\Psi\rangle = 1$ , orthonormierte Basis [ONB]  $\{|q\rangle\}$  mit  $\langle q|q'\rangle = \delta_{qq'}$  und  $\mathcal{H}_d = \text{span}(\{|q\rangle\})$ , Normaloperator  $Q$  mit  $Q|q\rangle = q|q\rangle$ , hermitescher Operator  $H = H^\dagger$ , Projektor  $P_q = |q\rangle\langle q|$ , Vollständigkeit  $\mathbb{1}_d = \sum_q P_q$ , unitärer Operator  $U^\dagger = U^{-1}$ .

Dynamik eines QM-Systems:

Schrödinger-Gleichung  $i\hbar \frac{\partial}{\partial t} |\Psi\rangle = H |\Psi\rangle$ , für  $\partial_t H = 0$  und Eigenwerten  $\varepsilon_i$  von  $H$  ist der unitäre Zeitentwicklungsoperator  $U = e^{i\hbar H t}$  und  $|\Psi(t)\rangle = U |\Psi(0)\rangle$ .

Messung:

$Q|\Psi\rangle = \sum_q Q P_q |\Psi\rangle = \sum_q q \underbrace{\langle q|\Psi\rangle}_{\alpha_q} |q\rangle$  mit der Wahrscheinlichkeit der Messung des Zustandes  $|q\rangle |\alpha_q|^2$ , Mittelwert

$$\langle A \rangle = \langle \Psi | A | \Psi \rangle = \sum_q q |\alpha_q|^2, \text{ Varianz } \langle [A - \langle A \rangle]^2 \rangle \geq 0.$$

Kommutator  $[a, b] = ab - ba$  ; Antikommutator  $[a, b]_+ = ab + ba$

1 Qubit-System:

2-Niveau Quantensystem [z.B. Spin- $\frac{1}{2}$ -Teilchen], Hilbertraum  $\mathcal{H}_2$  mit ONB  $\{|0\rangle, |1\rangle\}$ .

Matrixdarstellung:  $|0\rangle = \begin{pmatrix} 1 \\ 0 \end{pmatrix}, |1\rangle = \begin{pmatrix} 0 \\ 1 \end{pmatrix}$

$\sigma_x \hat{=} \text{NOT}, \text{Hadamart-Gatter } H = \frac{1}{\sqrt{2}}[\sigma_x + \sigma_z]$

wichtige Operatoren:

elementar:  $P_0 = |0\rangle\langle 0| = \begin{pmatrix} 1 & 0 \\ 0 & 0 \end{pmatrix}, P_1 = |1\rangle\langle 1| = \begin{pmatrix} 0 & 0 \\ 0 & 1 \end{pmatrix}, \sigma_+ = |0\rangle\langle 1| = \begin{pmatrix} 0 & 1 \\ 0 & 0 \end{pmatrix}, \sigma_- = |1\rangle\langle 0| = \begin{pmatrix} 0 & 0 \\ 1 & 0 \end{pmatrix}.$

kombiniert:  $\mathbb{1} = P_0 + P_1 = \underbrace{\begin{pmatrix} 1 & 0 \\ 0 & 1 \end{pmatrix}}_{\text{copy}}, \sigma_x = \sigma_+ + \sigma_- = \underbrace{\begin{pmatrix} 0 & 1 \\ 1 & 0 \end{pmatrix}}_{\text{bit-flip}}, \sigma_y = i[\sigma_- - \sigma_+] = \underbrace{\begin{pmatrix} 0 & -i \\ i & 0 \end{pmatrix}}_{\text{bit-flip mit phase-spread}}, \sigma_z = P_0 - P_1 = \underbrace{\begin{pmatrix} 1 & 0 \\ 0 & -1 \end{pmatrix}}_{\text{phase-spread}}.$

Mit dem Spin-Hamiltonian  $H_s = -\vec{B}\vec{s} = -\frac{\hbar}{2}B_\alpha\sigma_\alpha$  ist dann  $U(t) = e^{iB_\alpha\sigma_\alpha\frac{t}{2}} = \mathbb{1} \cos(B_\alpha\frac{t}{2}) + \sigma_\alpha i \sin(B_\alpha\frac{t}{2})$ .

2 Qubit-System:

Zustände aus zwei Hilberträumen  $\mathcal{H}^A, \mathcal{H}^B$  mit ONB  $\{|\Psi_i^A\rangle\}, \{|\Psi_j^B\rangle\}$  sind separabel, falls  $|\Psi_{AB}\rangle$  als Produktzustand  $|\Psi_{AB}\rangle = \sum_{i,j} [\alpha_i |\Psi_i^A\rangle] \otimes [\beta_j |\Psi_j^B\rangle]$  darstellbar ist. Sonst heißt der Zustand verschränkt.

Bei separablen Systemen gilt  $\langle M \rangle = \text{tr}(M\rho)$  mit dem Dichteoperator  $\rho = |\Psi\rangle\langle\Psi|$ ; dabei ist  $\rho$  positiv [hermitesch,  $\langle\varphi|\rho|\varphi\rangle \geq 0$ ],  $\text{tr}(\rho) = 1, \rho^2 = \rho$

$$\rho^2 \begin{cases} = \rho & , \text{reiner Zustand} \\ \neq \rho & , \text{verschränkter Zustand} \end{cases}$$

Bei verschränkten Systemen ist  $\rho$  positiv [also hermitesch],  $\text{tr}(\rho) = 1$  aber  $\rho^2 \neq \rho$  und  $\text{tr}(\rho^2) < 1$ .

Konkurrenz:

Für  $|\chi\rangle = \alpha|00\rangle + \beta|01\rangle + \gamma|10\rangle + \delta|11\rangle$  [normiert auf 1] definiert man  $C = 2|\alpha\delta - \beta\gamma|$ . Es ist  $0 \leq C \leq 1$  und für separable Zustände  $C = 0$  und für „maximal verschränkte“ Zustände  $C = 1$ .

Bell-Zustände:  
 $|\phi_\pm\rangle = \frac{1}{\sqrt{2}}[|00\rangle \pm |11\rangle]$   
 $|\psi_\pm\rangle = \frac{1}{\sqrt{2}}[|01\rangle \pm |10\rangle]$

Blochkugel:

Bloch-Vektor  $\vec{P} \in \mathbb{R}^3$  für ein 1-Qubit-System; es ist  $|\vec{P}| \leq 1$ ; Dichteop.  $\rho = \frac{1}{2}[\mathbb{1} + \vec{P}\vec{\sigma}]$ .

Die EW von  $\rho|\pm\rangle = \lambda|\pm\rangle$  sind  $\lambda_\pm = \frac{1}{2}[1 \pm |\vec{P}|]$ .

Für einen reinen Zustand ist  $\vec{P} = \begin{pmatrix} \sin(\theta)\cos(\varphi) \\ \sin(\theta)\sin(\varphi) \\ \cos(\theta) \end{pmatrix}, |\vec{P}| = 1$  und die Eigenwerte und Eigenvektoren sind  $[\rho|\pm\rangle = \mu_\pm|\pm\rangle]$ :

$$\mu_+ = 1, |+\rangle = \begin{pmatrix} \cos(\frac{\theta}{2})e^{-i\frac{\varphi}{2}} \\ \sin(\frac{\theta}{2})e^{i\frac{\varphi}{2}} \end{pmatrix} \quad \text{bzw.} \quad \mu_- = -1, |-\rangle = \begin{pmatrix} -\sin(\frac{\theta}{2})e^{-i\frac{\varphi}{2}} \\ \cos(\frac{\theta}{2})e^{i\frac{\varphi}{2}} \end{pmatrix}$$

Bei maximaler Verschränkung [für alle Bell-Zustände] ist  $\rho_A = \text{tr}_B(|\Psi\rangle\langle\Psi|) = \frac{1}{2}\mathbb{1} = \rho_B$ .

Reinheit:  $\eta = 2 \text{tr}(\rho^2) - 1 = |\vec{P}|^2 = \begin{cases} = 0 & , \text{maximal gemischter Z.} \\ = 1 & , \text{reiner/separabler Z.} \end{cases} \Rightarrow C = 1 - \eta$

[Beim Übergang  $\vec{P} \rightarrow -\vec{P}$  gehen auch die EV gemäß  $|\pm\rangle \rightarrow |\mp\rangle$  über.]

Zustände auf der Oberfläche der Blochkugel sind rein, Zustände im Innern verchränkt. Zustände im Ursprung sind maximal verschränkt.

Paritätsoperator:  $\sigma_{A_z}\sigma_{B_z}$

$$[\sigma_{A_z}\sigma_{B_z}|\Phi_\pm\rangle = |\Phi_\pm\rangle, \sigma_{A_z}\sigma_{B_z}|\Psi_\pm\rangle = -|\Psi_\pm\rangle]$$

Vorzeichenoperator:  $\sigma_{A_x}\sigma_{B_x}$

$$[\sigma_{A_x}\sigma_{B_x}|\Phi_\pm\rangle = \pm|\Phi_\pm\rangle, \sigma_{A_x}\sigma_{B_x}|\Psi_\pm\rangle = \pm|\Psi_\pm\rangle]$$

$$\sigma_j\sigma_k = \delta_{jk}\mathbb{1} + i\varepsilon_{jkl}\sigma_l, [\sigma_j, \sigma_k] = 2i\varepsilon_{jkl}\sigma_l, \cos(x) = \sum_{k=0}^{\infty} \frac{(-1)^k x^{2k}}{[2k]!}, \sin(x) = \sum_{k=0}^{\infty} \frac{(-1)^k x^{2k+1}}{[2k+1]!}, \text{tr}(ab) = \text{tr}(ba).$$

Bellsche Ungleichung:

Es sei  $[|\vec{n}| = |\vec{m}| = 1]$   $P(\vec{n}, \pm) = \frac{1}{2}[1 \pm \vec{n}\vec{\sigma}]$  und  $|\Psi_{-}\rangle$  der entsprechende Bell-Zustand. Dann ist  $\langle \Psi_{-} | \vec{n}\vec{\sigma} | \Psi_{-} \rangle = 0$  ,  $\sigma_B |\Psi_{-}\rangle = -\sigma_A |\Psi_{-}\rangle$  und  $\langle \Psi_{-} | P_A(\vec{n}, +) P_B(\vec{m}, +) | \Psi_{-} \rangle = \frac{1}{4}[1 - \vec{n}\vec{m}]$  . [Es ist  $P(\vec{n}, +) = P(-\vec{n}, -)$ !]

Wählt man als Messachsen  $\vec{n}_1 = \begin{pmatrix} 0 \\ 0 \\ 1 \end{pmatrix} = -m_1$ ,  $\vec{n}_2 = \begin{pmatrix} \frac{\sqrt{3}}{2} \\ 0 \\ -\frac{1}{2} \end{pmatrix} = -m_2$  und  $\vec{n}_3 = \begin{pmatrix} -\frac{\sqrt{3}}{2} \\ 0 \\ -\frac{1}{2} \end{pmatrix} = -m_3$  und bestimmt die Wahrscheinlichkeit der gleichzeitigen Messung in 2 Achsen  $p(i, j) = \langle \Psi_{-} | P_A(\vec{n}_i, +) P_A(\vec{m}_j, -) | \Psi_{-} \rangle + \langle \Psi_{-} | P_A(\vec{n}_i, -) P_A(\vec{m}_j, +) | \Psi_{-} \rangle$ , so sieht man, dass  $p(1, 2) + p(2, 3) + p(3, 1) = \frac{3}{4}$  [?].

Klassisch wäre  $p(1, 2) + p(2, 3) + p(3, 1) = 2$  [?]; mit Experiment jedoch ersteres bestätigt!

No-Cloning Theorem:

Kopierbare Zustände sind identisch oder orthogonal.

$$[|\Phi\rangle, |\Psi\rangle \in \mathcal{H}, \forall |\Phi\rangle : U|\Phi, z\rangle = |\Phi, \Phi\rangle \Rightarrow \langle \Phi | \Psi \rangle = \langle \Phi, z | \Psi, z \rangle = \langle \Phi, z | U^\dagger U | \Psi, z \rangle = \langle \Phi, \Phi | \Psi, \Psi \rangle = [(\langle \Phi | \Psi \rangle)]^2 \in \{0, 1\}$$

Mehr-qubit-Operationen:

$$\frac{\pi}{8}\text{-Gatter: } T = e^{i\frac{\pi}{8}[\mathbb{1} - \sigma_z]} = e^{i\frac{\pi}{8}} \begin{pmatrix} e^{-i\frac{\pi}{8}} & 0 \\ 0 & e^{i\frac{\pi}{8}} \end{pmatrix} = \begin{pmatrix} 1 & 0 \\ 0 & e^{i\frac{\pi}{4}} \end{pmatrix} , \quad \text{unitär } [U^\dagger = U^{-1}] .$$

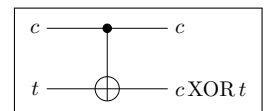
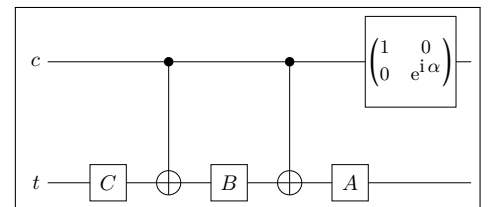
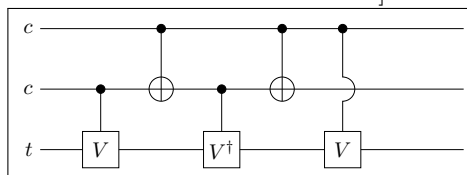
Allgemeine Rotation um eine Achse in Richtung  $\vec{n}$  um den Winkel  $\theta$ :  $R_{\vec{n}}(\theta) = e^{i\theta\vec{n}\vec{\sigma}}$ . [unitär]

Blochvektor  $\vec{P} = \langle \Psi | \vec{\sigma} | \Psi \rangle$  , reiner Zustand auf Blochsphäre  $|+, \theta, \varphi\rangle = \begin{pmatrix} e^{-i\frac{\varphi}{2}} \cos(\frac{\theta}{2}) \\ e^{i\frac{\varphi}{2}} \sin(\frac{\theta}{2}) \end{pmatrix}$  mit  $\vec{P} = \begin{pmatrix} \sin(\theta) \cos(\varphi) \\ \sin(\theta) \sin(\varphi) \\ \cos(\theta) \end{pmatrix}$ .

Allgemeine unitäre Matrix:  $U = e^{i\alpha} R_{\vec{e}_z}(\beta) R_{\vec{e}_y}(\gamma) R_{\vec{e}_z}(\delta)$  ;  
 durch Berücksichtigung der Phase entspricht eine Drehung um  $\varphi$  auf der Blochkugel  $2\varphi$  im Realraum.

Mit  $A = R_{\vec{e}_z}(\beta) R_{\vec{e}_y}(\frac{\gamma}{2})$  ,  $B = R_{\vec{e}_y}(-\frac{\gamma}{2}) R_{\vec{e}_z}(-\frac{\delta}{2} - \frac{\beta}{2})$  ,  $C = R_{\vec{e}_z}(\frac{\delta}{2} - \frac{\beta}{2})$  ist  $U = e^{i\alpha} A \sigma_x B \sigma_x C$  und  $ABC = \mathbb{1}$ .

Oder z.B.  $C^2U$  [mit  $U = V^2$  und  $V^\dagger = V^{-1}$  unitär]:



Matrixexponential:

Sei  $X \in \mathbb{C}^{n \times n}$ , dann ist das Exponential von  $X$   $e^X = \sum_{k=0}^{\infty} \frac{X^k}{k!}$  .

Dabei gilt  $[a, b \in \mathbb{R}]$ :  $e^{0_{n \times n}} = 1_{n \times n}$ ,  $e^{aX} e^{bX} = e^{[a+b]X}$ ,  $[e^X]^T = e^{X^T}$ ,  $[e^X]^* = e^{X^*}$ ,  $\det(e^X) = e^{\text{tr}(X)}$  und falls  $[X, Y] = 0$  gilt  $e^{X+Y} = e^X e^Y$  [sonst Baker-Campbell-Hausdorff-Formel].

Mit den Pauli-Matrizen  $\sigma_1, \sigma_2, \sigma_3$   $[\vec{\sigma} = (\sigma_x, \sigma_y, \sigma_z)^T]$  , mit  $\sigma_0 = \mathbb{1}$ ,  $\vec{n} \in \mathbb{R}^3$   $[|\vec{n}| = 1]$  und  $a \in \mathbb{C}$  gilt somit:

$$e^{i a \vec{n} \vec{\sigma}} = \sum_{k=0}^{\infty} \frac{[i a \vec{n} \vec{\sigma}]^k}{k!} = \sum_{n=0}^{\infty} \left[ \frac{[i a \vec{n} \vec{\sigma}]^{2n}}{[2n]!} + \frac{[i a \vec{n} \vec{\sigma}]^{2n+1}}{[2n+1]!} \right] = \mathbb{1} \sum_{n=0}^{\infty} [-1]^n \frac{a^{2n}}{[2n]!} + i \vec{n} \vec{\sigma} \sum_{n=0}^{\infty} [-1]^n \frac{a^{2n+1}}{[2n+1]!} = \cos(a) \mathbb{1} + i \sin(a) \vec{n} \vec{\sigma}$$

Universeller Satz von Quantengattern:

Jede unitäre Transformation kann auf folgende Quantengatter zurückgeführt werden: CNOT,  $\frac{\pi}{8}$ -Gatter, Hadamard-G.

$$\text{CNOT} = \begin{pmatrix} 1 & 0 & 0 & 0 \\ 0 & 1 & 0 & 0 \\ 0 & 0 & 0 & 1 \\ 0 & 0 & 1 & 0 \end{pmatrix}, \quad T = e^{i\frac{\pi}{8}[\mathbb{1} - \sigma_z]} = e^{i\frac{\pi}{8}} \begin{pmatrix} e^{-i\frac{\pi}{8}} & 0 \\ 0 & e^{i\frac{\pi}{8}} \end{pmatrix} = \begin{pmatrix} 1 & 0 \\ 0 & e^{i\frac{\pi}{4}} \end{pmatrix}, \quad H = \frac{1}{\sqrt{2}}[\sigma_x + \sigma_z] = \frac{1}{\sqrt{2}} \begin{pmatrix} 1 & 1 \\ 1 & -1 \end{pmatrix}.$$

Denn:

1. Jede unitäre Operation kann exakt als Produkt „einfacher“ unitärer Operationen dargestellt werden, die jeweils nur auf die Basiszustände des Hilbertraumes wirken.
2. Irgendein unitärer 2-Niveau-Operator kann durch Einzel-Qubit- und verallgemeinerte CNOT-Gatter ausgeführt werden.
3. Einzelqubitoperationen können mit beliebiger Genauigkeit durch  $H$  und  $T$  approximiert werden.

Quantencomputer und -algorithmen

- 5 natürliche Grundsätze [nach DiVincenzo, 2001]:
1. Wohldefinierte Qubits nötig. System skalierbar.
  2. Initialisierung eines wohldefinierten Anfangszustands.
  3. Lange Dekohärenzzeit des Gesamtsystems.
  4. Universeller Satz von Quantengattern.
  5. Qubit-selektives Auslesen.

Deutsch-Algorithmus:

Initialisieren  $|01\rangle$  und nutzen  $U_f [U_f |x, y\rangle = |x, y \oplus f(x)\rangle]$ , dann ist

$$|\Psi\rangle = H_x U_f H_x H_y |01\rangle = \frac{1}{\sqrt{2}} |f(0) \oplus f(1)\rangle \otimes [|f(0)\rangle - |1 \oplus f(0)\rangle]$$

und somit mit  $\langle 0|$  unterscheidbar, ob  $f(x) = \text{const.}$  [ $|\Psi\rangle = |0\rangle \otimes \dots$ ] oder balanciert [ $|\Psi\rangle = |1\rangle \otimes \dots$ ].

Deutsch-Josza-Algorithmus:

Verallgemeinerung des Deutsch-Algorithmus auf  $n$  Dimensionen [ $f(\vec{x})$ , wobei  $f: \mathbb{B}^d \rightarrow \mathbb{B}^1$  mit  $\mathbb{B} = \{0, 1\}$ ], wobei  $H_{\vec{x}} = \prod_{i=1}^n H_i$ :

$$|\Psi\rangle = H_{\vec{x}} U_f H_{\vec{x}} H_y |\vec{0}, 1\rangle$$

und dann mit  $\langle \vec{0}|$   $f(\vec{x}) = \text{const.}$  [[ $\langle \vec{0}| \otimes \frac{1}{\sqrt{2}}[|0\rangle - |1\rangle] |\Psi\rangle = \pm 1$ ] und  $f(\vec{x})$  balanciert [[ $\langle \vec{0}| \otimes \frac{1}{\sqrt{2}}[|0\rangle - |1\rangle] |\Psi\rangle = 0$ ] unterscheidbar.

Quantenfouriertransformation ist mit  $\mathcal{O}(n^2)$  wesentlich schneller als die klassische diskrete FT mit  $\mathcal{O}(2^n n)$ .

RSA-Verschlüsselung wäre mit Quantencomputern wesentlich schneller zu knacken [ $\rightarrow$  Shor-Algorithmus].

Grover-Suchalgorithmus:

Zur Suche in unstrukturierter Datenbank [ $N = 2^n$  Elemente,  $M$  Suchlösungen] mit Orakelfunktion  $f(x) = \begin{cases} 1 & , x \text{ Lösung} \\ 0 & , \text{sonst} \end{cases}$

$$[U_f |x, y\rangle = |x, y \oplus f(x)\rangle], \quad H_x = \prod_{i=1}^n H_i \quad \text{und} \quad |q_0\rangle = \frac{1}{\sqrt{2}}[|0\rangle - |1\rangle] = H|1\rangle:$$

Es gilt  $U_f |x, q_0\rangle = [-1]^{f(x)} |x, q_0\rangle$ .

Initialisierung des Systems zu

$$\begin{aligned}
 |\Psi\rangle &= [H_x \otimes \mathbb{1}_1][|\vec{0}\rangle \otimes |q_0\rangle] = \frac{1}{\sqrt{N}} \sum_{x=0}^{N-1} |x\rangle \otimes |q_0\rangle = \left[ \underbrace{\sqrt{\frac{N-M}{N}}}_{=:\cos(\frac{\theta}{2})} \underbrace{\frac{1}{\sqrt{N-M}} \sum_{x=0}^{N-1} [1-f(x)]|x\rangle}_{\text{ungesuchter Anteil } =:|\alpha\rangle} + \underbrace{\sqrt{\frac{M}{N}}}_{=:\sin(\frac{\theta}{2})} \underbrace{\frac{1}{\sqrt{M}} \sum_{x=0}^{N-1} f(x)|x\rangle}_{\text{gesuchter Anteil } =:|\beta\rangle} \right] \otimes |q_0\rangle \\
 &= \left[ \underbrace{\cos(\frac{\theta}{2})|\alpha\rangle + \sin(\frac{\theta}{2})|\beta\rangle}_{=:|\Phi\rangle} \right] \otimes |q_0\rangle \quad [\Rightarrow \theta = 2 \arcsin(\sqrt{\frac{M}{N}}) \approx 2\sqrt{\frac{M}{N}}]
 \end{aligned}$$

Mit dem Graver-Operator  $G = [[H_x[-1 + 2|0\rangle\langle 0|]H_x] \otimes \mathbb{1}_1]U_f = [[2|\Phi\rangle\langle\Phi| - \mathbb{1}] \otimes \mathbb{1}_1]U_f$   
 $= [[|\Phi\rangle\langle\Phi| - [\mathbb{1}_n - |\Phi\rangle\langle\Phi|]] \otimes \mathbb{1}_1]U_f = [[P_{|\Phi\rangle} - P_{|\Phi\rangle^\perp}] \otimes \mathbb{1}_1]U_f$

sieht man nach  $k$ -facher Anwendung auf  $|\Psi\rangle$  dann  $|\Psi_k\rangle = G^k |\Psi\rangle = \left[ \cos(\frac{2k+1}{2}\theta)|\alpha\rangle + \sin(\frac{2k+1}{2}\theta)|\beta\rangle \right] \otimes |q_0\rangle$  .

Da bei  $\frac{2k+1}{2}\theta = \frac{\pi}{2}$  einzig der gesuchte Teil überbleibt  $[|\Psi_{k'}\rangle = |\beta\rangle \otimes |q_0\rangle]$ , ergibt sich für  $M \ll N$  :  $k' \approx \frac{\pi}{4}\sqrt{\frac{N}{M}}$  .  $[\Rightarrow \mathcal{O}(2^{\frac{n}{2}})]$

Die Fehlerwahrscheinlichkeit beträgt  $p = \cos^2(\frac{2k'+1}{2}\theta) \approx \frac{M}{N} \ll 1$  für  $M \ll N$ .

